

Содержание

Введение	6
1 Функционально-интегральное уравнение для идентификации коэффициента аномальной диффузии	8
1.1 Постановка обратной задачи	8
1.2 Вывод функционально-интегрального уравнения	10
2 Численный алгоритм решения функционально-интегрального уравнения	16
2.1 Численная схема решения прямой задачи	16
2.2 Метод регуляризации	17
3 Вычислительный эксперимент	19
Заключение	22
Список литературы	23
Приложение	24

Введение

В данной дипломной работе рассматривается коэффициентная обратная задача уравнения аномальной диффузии с лево-и правосторонними дробными производными типа Римана-Лиувилля по пространственной переменной. Определению подлежит коэффициент диффузии $k(U)$.

Дробное исчисление [2] является эффективным и широко используемым инструментом для изучения процессов с аномальной кинетикой. Широкий спектр дифференциальных уравнений с дробными производными по времени и пространству был предложен и исследован большим числом ученых за последние два десятилетия для моделирования разнообразных процессов релаксации и переноса. Примерами таких уравнений являются уравнения суб- и супердиффузии [4], уравнение Фоккера-планка [6], дробные уравнения адвекции-дисперсии [7].

Однако, для практического использования этих уравнений необходимо знать соответствующие свойства среды, входящие в эти уравнения в качестве коэффициентов. В частности, дифференциальное уравнение аномальной диффузии одним из важнейших параметров является коэффициент диффузии. Как правило, этот коэффициент зависит от концентрации. Поэтому, представляется актуальной задача разработки алгоритмов параметрической идентификации для уравнения с производными дробного порядка. В данной дипломной работе объектом исследования является уравнение аномальной диффузии, содержащее лево- и правосторонние дробные производные типа Римана-Лиувилля по пространственной переменной. Разработка алгоритма идентификации основывается на сведении задачи к функционально-интегральному уравнению. Таким образом, целью работы является решение коэффициентной обратной задачи уравнения аномальной диффузии с лево-и правосторонними дробными

производными типа Римана-Лиувилля по пространственной переменной.

Для достижения данной цели в работе решаются следующие задачи

1. Для уравнения аномальной диффузии с лево- и правосторонними дробными производными типа Римана-Лиувилля по пространственной переменной вывести функционально-интегральное уравнение относительно коэффициента аномальной диффузии, рассматриваемого как функция концентрации.
2. Разработать численный алгоритм решения построенного функционально-интегрального уравнения.
3. Выполнить программную реализацию алгоритма.
4. Провести серию вычислительных экспериментов, подтверждающих работоспособность предложенного алгоритма.

1 Функционально-интегральное уравнение для идентификации коэффициента аномальной диффузии

1.1 Постановка обратной задачи

Рассматривается уравнение аномальной диффузии:

$$U_t = \frac{\partial}{\partial x} [k(U) \cdot ({}_0D_x^\alpha(U) - {}_xD_L^\alpha(U))], \quad (1)$$

где

$$U = U(t, x), x \in [0, L], t \in [0, T], \alpha \in (0, 1), \quad (2)$$

со следующими начальным и граничным условиями:

$$U(0, x) = \phi(x), x \in [0, L], \quad (3)$$

$$k(U) \cdot ({}_0D_x^\alpha(U) - {}_xD_L^\alpha(U)) = \begin{cases} q_0(t), x = 0, \\ q_L(t), x = L \end{cases}, t \in [0, T]. \quad (4)$$

В (1)

$${}_0D_x^\alpha(U(t, x)) = \frac{1}{\Gamma(1-\alpha)} \frac{\partial}{\partial x} \int_0^x \frac{U(t, \tau)}{(x-\tau)^\alpha} d\tau, \alpha \in (0, 1), n \in R, \quad (5)$$

$${}_xD_L^\alpha(U(t, x)) = \frac{-1}{\Gamma(1-\alpha)} \frac{\partial}{\partial x} \int_x^L \frac{U(t, \tau)}{(\tau-x)^\alpha} d\tau, \alpha \in (0, 1), n \in R, \quad (6)$$

- лево- и правосторонние дробные производные типа Римана-Лиувилля порядка $\alpha \in (0, 1)$ [2],

$$\Gamma(\alpha) = \int_0^\infty t^{\alpha-1} e^{-t} dt, \alpha \in C : Re(\alpha) > 0 \quad (7)$$

- гамма - функция.

Ставится коэффициентная обратная задача восстановления коэффициента аномальной диффузии $k(U)$ по полю концентрации, известному в дискретном множестве N внутренних точек $x = d_i$ во все моменты времени:

$$U(t, x) \Big|_{x=d_i} = f_i(t), i = 1 \dots N \quad (8)$$

1.2 Вывод функционально-интегрального уравнения

Для решения коэффициентной обратной задачи используется подход, описанный в [1], который адаптируется для одномерной области $\Omega = [0, L]$, и уравнения с дробными производными типа Римана-Лиувилля.

Пусть Ω - конечная область евклидова пространства R^1 , ограниченная границей $\Gamma = \partial\Omega$; v - нормаль к поверхности Γ , внешняя по отношению к Ω ;

$$g(t) = \min_{x \in \bar{\Omega}} U(t, x), \quad h(t) = \max_{x \in \bar{\Omega}} U(t, x), \quad (\bar{\Omega} = \Omega \cup \Gamma) \quad (9)$$

- минимальная и максимальная концентрации (экстремальные концентрации) в замкнутой области $\bar{\Omega}$ в момент времени t ; $\underline{g} = \min_{0 \leq t \leq T} g(t)$, $\bar{h} = \max_{0 \leq t \leq T} h(t)$ - наименьшая и наибольшая концентрации за время эксперимента T ; U_r - множество значений функции $r(t)$, $r = g, h$.

Принято, что концентрация $U(t, x)$ является непрерывной функцией на $\bar{\Omega} \times (0, T)$. Следовательно, при каждом фиксированном $t \in (0, T)$ множество значений концентрации есть отрезок $[g(t), h(t)]$, причем для каждой экстремальной концентрации r , $r = g, h$ существует по крайней мере одна точка $x_r(t)$ в которой $U(t, x_r(t)) = r(t)$.

Введем изотерму

$$x(s, t) = \{x : x \in \Omega, U(t, x) = s, g(t) \leq s \leq h(t)\}. \quad (10)$$

Она разделяет всю область Ω на два множества, Ω_1 и Ω_2 :

$$\begin{aligned} \Omega_1 &= \Omega_1(t, s) = \{x : x \in \Omega, g(t) \leq U(t, x) < s \leq h(t)\}, \\ \Omega_2 &= \Omega_2(t, s) = \{x : x \in \Omega, h(t) \geq U(t, x) > s \geq g(t)\}. \end{aligned} \quad (11)$$

Введем также характеристическую функцию следующего вида:

$$\chi(r(t), U(t, x), s) = \begin{cases} 1, & s \in (r(t), U(t, x)), \\ 0, & s \notin (r(t), U(t, x)). \end{cases} \quad (12)$$

Утверждение 1. Пусть функции $U(t, x)$ и $k(U)$ удовлетворяют уравнению (1) и граничному условию (4); экстремальные концентрации $g(t)$, $h(t)$ дифференцируемы на $(0, T)$. Пусть $\rho(t, x)$, $U(t, x)$ таковы, что каждый член уравнения (1), умноженный на $\rho(t, x)$, интегрируем по $x \in \Omega = [0, L]$. Тогда $\{U(t, x), k(U(t, x)), t\}$ удовлетворяют следующему функционально - интегральному уравнению:

$$\int_{\Omega} \rho(t, x) U_t(t, x) dx = \int_{g(t)}^{h(t)} J_k(s, t, \rho) k(s) ds + Q(t; \rho), \quad 0 < t < T, \quad (13)$$

в котором ядром является взвешенная поверхностная интегральная характеристика поля концентрации:

$$J_k(s, t, \rho) = \frac{\partial \rho(t, x)}{\partial x} \frac{{}_0D_x^\alpha(U) - {}_x D_L^\alpha(U)}{U_x(t, x)} \Big|_{x=x(t, s)}. \quad (14)$$

Свободный член представляет собой взвешенную поверхностную интегральную характеристику потока массы на границе $\Gamma = \partial\Omega = \{0\} \cup \{L\}$:

$$Q(t; \rho) = \int_{\Gamma} \rho(t, x) q(t, x) d\Gamma \equiv \rho(t, L) \cdot q_L(t) - \rho(t, 0) \cdot q_0(t). \quad (15)$$

Доказательство. Умножим уравнение (1) на $\rho(t, x)$ и проинтегрируем по области Ω , фиксируя $t \in (0, T)$:

$$\int_0^L \rho(t, x) U_t(t, x) dx = \int_0^L \rho(t, x) \frac{\partial}{\partial x} [k(U) \cdot ({}_0D_x^\alpha(U) - {}_x D_L^\alpha(U))] dx. \quad (16)$$

Рассмотрим интеграл стоящий в правой части:

$$\begin{aligned} & \int_0^L \rho(t, x) \frac{\partial}{\partial x} [k(U) \cdot ({}_0D_x^\alpha(U) - {}_x D_L^\alpha(U))] dx = \\ & = \rho(t, x) (k(U) ({}_0D_x^\alpha(U) - {}_x D_L^\alpha(U)))_x \Big|_0^L - \\ & - \int_0^L \frac{\partial \rho(t, x)}{\partial x} k(U) ({}_0D_x^\alpha(U) - {}_x D_L^\alpha(U)) dx. \end{aligned} \quad (17)$$

На основании граничного условия (4) получим:

$$\rho(t, x) (k(U) ({}_0D_x^\alpha(U) - {}_x D_L^\alpha(U)))_x \Big|_0^L = Q(t; \rho). \quad (18)$$

Затем введем в интеграл $U_x(t, x)$:

$$\begin{aligned} & \int_0^L \frac{\partial \rho(t, x)}{\partial x} k(U) ({}_0D_x^\alpha(U) - {}_x D_L^\alpha(U)) dx = \\ & = \int_0^L \frac{\partial \rho(t, x)}{\partial x} \frac{{}_0D_x^\alpha(U) - {}_x D_L^\alpha(U)}{U_x} k(U) U_x dx. \end{aligned} \quad (19)$$

Учитывая, что

$$k(U) U_x = \frac{\partial}{\partial x} \int_{r(t)}^{U(t, x)} \lambda(s) ds, \quad r = g, h, \quad (20)$$

получим

$$\begin{aligned} & \int_0^L \frac{\partial \rho(t, x)}{\partial x} \frac{{}_0D_x^\alpha(U) - {}_x D_L^\alpha(U)}{U_x} k(U) U_x dx = \\ & = \int_0^L \frac{\partial \rho(t, x)}{\partial x} \frac{{}_0D_x^\alpha(U) - {}_x D_L^\alpha(U)}{U_x} \frac{\partial}{\partial x} \int_{r(t)}^{U(t, x)} k(s) ds dx = \\ & = \frac{\partial \rho(t, x)}{\partial x} \frac{{}_0D_x^\alpha(U) - {}_x D_L^\alpha(U)}{U_x} \int_{r(t)}^{U(t, x)} k(s) ds \Big|_0^L - \\ & - \int_0^L \frac{\partial}{\partial x} \left[\frac{\partial \rho(t, x)}{\partial x} \frac{{}_0D_x^\alpha(U) - {}_x D_L^\alpha(U)}{U_x} \right] \int_{r(t)}^{U(t, x)} k(s) ds dx. \end{aligned} \quad (21)$$

Уравнение в итоге примет вид:

$$\begin{aligned} \int_0^L \rho(t, x) U_t(t, x) dx = Q(t; \rho) - \frac{\partial \rho(t, x)}{\partial x} \frac{{}_0 D_x^\alpha(U) - {}_x D_L^\alpha(U)}{U_x} \int_{r(t)}^{U(t, x)} k(s) ds \Big|_0^L + \\ + \int_0^L \frac{\partial}{\partial x} \left[\frac{\partial \rho(t, x)}{\partial x} \frac{{}_0 D_x^\alpha(U) - {}_x D_L^\alpha(U)}{U_x} \right] \int_{r(t)}^{U(t, x)} k(s) ds dx. \end{aligned} \quad (22)$$

Выполним следующую замену:

$$\frac{\partial \rho(t, x)}{\partial x} \frac{{}_0 D_x^\alpha(U) - {}_x D_L^\alpha(U)}{U_x} = \frac{\partial \tilde{\rho}(t, x)}{\partial x}, \quad (23)$$

тогда

$$\begin{aligned} \int_0^L \rho(t, x) U_t(t, x) dx = Q(t; \rho) - \frac{\partial \tilde{\rho}(t, x)}{\partial x} \int_{r(t)}^{U(t, x)} k(s) ds \Big|_0^L + \\ + \int_0^L \frac{\partial^2 \tilde{\rho}(t, x)}{\partial x^2} \int_{r(t)}^{U(t, x)} k(s) ds dx. \end{aligned} \quad (24)$$

Преобразуем интеграл из (24):

$$\int_0^L \frac{\partial^2 \tilde{\rho}(t, x)}{\partial x^2} \int_{r(t)}^{U(t, x)} k(s) ds dx = \int_0^L \int_{g(t)}^{h(t)} \frac{\partial^2 \tilde{\rho}(t, x)}{\partial x^2} \chi(r(t), U(t, x), s) k(s) ds dx; \quad (25)$$

используя следующее соотношение:

$$\int_0^L \frac{\partial^2 \tilde{\rho}(t, x)}{\partial x^2} \chi(r(t), U(t, x), s) dx = (-1)^i \int_{\Omega_i(s, t)} \frac{\partial^2 \tilde{\rho}(t, x)}{\partial x^2} dx, \quad i = 1, 2, \quad (26)$$

где $\Omega_1 = [0, x(s, t)]$, $\Omega_2 = [x(s, t), L]$. Получим:

$$\begin{aligned}
& \int_0^L \int_{g(t)}^{h(t)} \frac{\partial^2 \tilde{\rho}(t, x)}{\partial x^2} \chi(r(t), U(t, x), s) k(s) ds dx = \\
& = \int_{g(t)}^{h(t)} (-1)^i \int_{\Omega_i(s, t)} \frac{\partial^2 \tilde{\rho}(t, x)}{\partial x^2} dx k(s) ds = \quad (27) \\
& = \int_{g(t)}^{h(t)} (-1)^{2i} \int_{\partial\Omega_i(s, t)} \frac{\partial \tilde{\rho}(t, x)}{\partial x} d\Gamma k(s) ds = \int_{g(t)}^{h(t)} \int_{\partial\Omega_i(s, t)} \frac{\partial \tilde{\rho}(t, x)}{\partial x} d\Gamma k(s) ds.
\end{aligned}$$

, где $\partial\Omega_1 = \{0\} \cup \{x(s, t)\}$, $\Omega_2 = \{x(s, t)\} \cup \{L\}$. В итоге уравнение примет вид:

$$\begin{aligned}
& \int_0^L \rho(t, x) U_t(t, x) dx = Q(t; \rho) - \frac{\partial \tilde{\rho}(t, x)}{\partial x} \int_{r(t)}^{U(t, x)} k(s) ds \Big|_0^L + \\
& + \int_{g(t)}^{h(t)} \int_{\partial\Omega_i(s, t)} \frac{\partial \tilde{\rho}(t, x)}{\partial x} d\Gamma k(s) ds, \quad (28)
\end{aligned}$$

$$\begin{aligned}
& \int_0^L \rho(t, x) U_t(t, x) dx = Q(t; \rho) - \frac{\partial \tilde{\rho}(t, x)}{\partial x} \int_{g(t)}^{h(t)} \chi(r(t), U(t, x), s) k(s) ds \Big|_0^L + \\
& + \int_{g(t)}^{h(t)} \int_{\partial\Omega_i(s, t)} \frac{\partial \tilde{\rho}(t, x)}{\partial x} d\Gamma k(s) ds, \quad (29)
\end{aligned}$$

$$\begin{aligned}
& \int_0^L \rho(t, x) U_t(t, x) dx = Q(t; \rho) - \int_{g(t)}^{h(t)} \int_{\Gamma} \chi(r(t), U(t, x), s) \frac{\partial \tilde{\rho}(t, x)}{\partial x} d\Gamma k(s) ds + \\
& + \int_{g(t)}^{h(t)} \int_{\partial\Omega_i(s, t)} \frac{\partial \tilde{\rho}(t, x)}{\partial x} d\Gamma k(s) ds, \quad (30)
\end{aligned}$$

Учитывая, что

$$\int_{\partial\Omega_i(s,t)} \frac{\partial\tilde{\rho}(t,x)}{\partial x} d\Gamma - \int_{\Gamma} \chi(r(t), U(t,x), s) \frac{\partial\tilde{\rho}(t,x)}{\partial x} d\Gamma = \int_{x=x(s,t)} \frac{\partial\tilde{\rho}(t,x)}{\partial x} dx(s,t), \quad (31)$$

приходим к искомому уравнению (13). □

2 Численный алгоритм решения функционально-интегрального уравнения

2.1 Численная схема решения прямой задачи

Численная схема решения уравнения (1) строится с помощью аппроксимации дробной производной по формуле Грюнвальда-Летникова [2]:

$${}_0D_x^\alpha(U(t, x)) = \frac{1}{\Delta x^\alpha} \sum_{j=0}^{\frac{x-0}{\Delta x}} (-1)^j \binom{\alpha}{j} U(t, x - j \cdot \Delta x), \quad (32)$$

$${}_xD_L^\alpha(U(t, x)) = \frac{1}{\Delta x^\alpha} \sum_{j=0}^{\frac{L-x}{\Delta x}} (-1)^j \binom{\alpha}{j} U(t, x + j \cdot \Delta x). \quad (33)$$

Уравнение для $U(x, t)$ имеет вид:

$$U_t = [k(U) \cdot ({}_0D_x^\alpha(U) - {}_xD_L^\alpha(U))]_x, \quad (34)$$

$$U(0, x) = f(x), U(t, 0) = q_0(t), U(t, L) = q_L(t), x \in (0, L), t \in (0, T). \quad (35)$$

Обозначим: $G_j^\alpha = \frac{(-1)^j}{\Delta x^\alpha} \cdot \binom{\alpha}{j}$.

Разностная схема будет иметь вид:

$$\begin{aligned} & (U_i^n - U_i^{n-1}) \cdot \frac{\Delta x}{\Delta t} = \\ & = k_i^{n-1} \cdot \left[\sum_{j=0}^i G_j^\alpha U_{i-j}^n - \sum_{j=0}^{N-i} G_j^\alpha U_{i+j}^n \right] - \\ & - k_{i-1}^{n-1} \cdot \left[\sum_{j=0}^{i-1} G_j^\alpha U_{i-j}^n - \sum_{j=0}^{N-i+1} G_j^\alpha U_{i+j}^n \right]. \end{aligned} \quad (36)$$

2.2 Метод регуляризации

Полученное в предыдущей главе ФИУ может быть сведено к интегральному уравнению Фредгольма I рода.

Задача отыскания решения такого уравнения является некорректной, поэтому для её решения будет использоваться метод регуляризации А. Н. Тихонова [4]. Уравнение имеет вид:

$$\begin{aligned} \int_{\underline{g}}^{\bar{h}} J_k(s, t; \rho) k(s) ds = \int_0^L \rho(t, x) U_t(t, x) dx + \\ + \int_{\Gamma} \rho(t, x) k(U(t, x) [{}_0D_x^\alpha(U(t, x)) - {}_x D_1^\alpha(U(t, x))] d\Gamma. \end{aligned} \quad (37)$$

Переобозначим:

$$\begin{aligned} f(t) = \int_0^L \rho(t, x) U_t(t, x) dx + \\ + \int_{\Gamma} \rho(t, x) k(U(t, x) [{}_0D_x^\alpha(U(t, x)) - {}_x D_1^\alpha(U(t, x))] d\Gamma. \end{aligned} \quad (38)$$

Уравнение примет вид:

$$\int_{\underline{g}}^{\bar{h}} J_k(s, t; \rho) k(s) ds = f(t), \quad (39)$$

Умножим обе части уравнения на $J_k(\xi, t; \rho)$ и проинтегрируем по t :

$$\int_0^T J_k(\xi, t; \rho) \int_{\underline{g}}^{\bar{h}} J_k(s, t; \rho) k(s) ds dt = \int_0^T J_k(\xi, t; \rho) f(t) dt. \quad (40)$$

В таком случае ядро Шмидта и симметризованная правая часть будут выгля-

деть как:

$$\begin{aligned}
K(\xi, s; \rho) &= \int_0^T J_k(\xi, t; \rho) J_k(s, t; \rho) dt, \\
f^*(\xi) &= \int_0^T J(\xi, t; \rho) f(t) dt,
\end{aligned} \tag{41}$$

Применяя метод регуляризации приходим к интегральному уравнению Фредгольма II рода:

$$\Theta \cdot k(\xi) + \int_{\underline{g}}^{\bar{h}} K(\xi, s; \rho) k(s) ds = f^*(\xi). \tag{42}$$

Данное уравнение считается численно.

Разностные аппроксимации здесь имеют вид:

$$f(t_n) = \sum_{i=0}^N \rho_i^n \frac{U_i^n - U_i^{n-1}}{\Delta t} \Delta x + \rho_N^n \cdot q_N^n - \rho_0^n \cdot q_0^n, \tag{43}$$

$$J_k(\xi, t_n; \rho) = \frac{\rho_i^n - \rho_{i-1}^n}{U_i^n - U_{i-1}^n} \cdot \left[\sum_{j=0}^i G_j^\alpha U_{i-j}^n - \sum_{j=0}^{N-i} G_j^\alpha U_{i+j}^n \right] \Big|_{i=}, \tag{44}$$

$$f^*(\xi) = \sum_{j=1}^M J_k(\xi, t_n; \rho) f(t_j) \Delta t, \tag{45}$$

$$K(\xi, s; \rho) = \sum_{j=0}^M J_k(\xi, t_n; \rho) J_k(s, t_n; \rho) \Delta t. \tag{46}$$

Уравнение в таком случае примет вид:

$$\Theta \cdot k(\xi_l) + \sum_{c=0}^P K(\xi_l, s_c; \rho) k(s_c) \Delta s = f^*(\xi_l), l \in [0, P], c \in [0, P], \tag{47}$$

где Θ - параметр регуляризации.

3 Вычислительный эксперимент

Численные эксперименты проводились по классической схеме: сначала решалась прямая задача с заданным (истинным) значением $k(U)$ и определялось поле концентрации, которое затем использовалось в качестве априорной информации при решении обратной задачи по описанному выше алгоритму.

Параметры тестовой задачи:

$$\begin{aligned} \alpha = 0.99, L = 1, T = 0.25, \rho(x) = x \cdot (L - x), \Theta = 10^{-6} \\ k(U) = U^2, U_0(x) = \frac{x}{2}, q_0(t) = 0, q_L(t) = \frac{1}{2\sqrt{(1-2t)}}. \end{aligned} \quad (48)$$

Поле концентрации прямой задачи показано на рис 1. Результаты восстановления коэффициента аномальной диффузии показаны на рис. 2, что говорит о работоспособности алгоритма.

Таким образом предложенный алгоритм может быть использован для восстановления коэффициента диффузии при некоторых частных случаях поля концентрации.

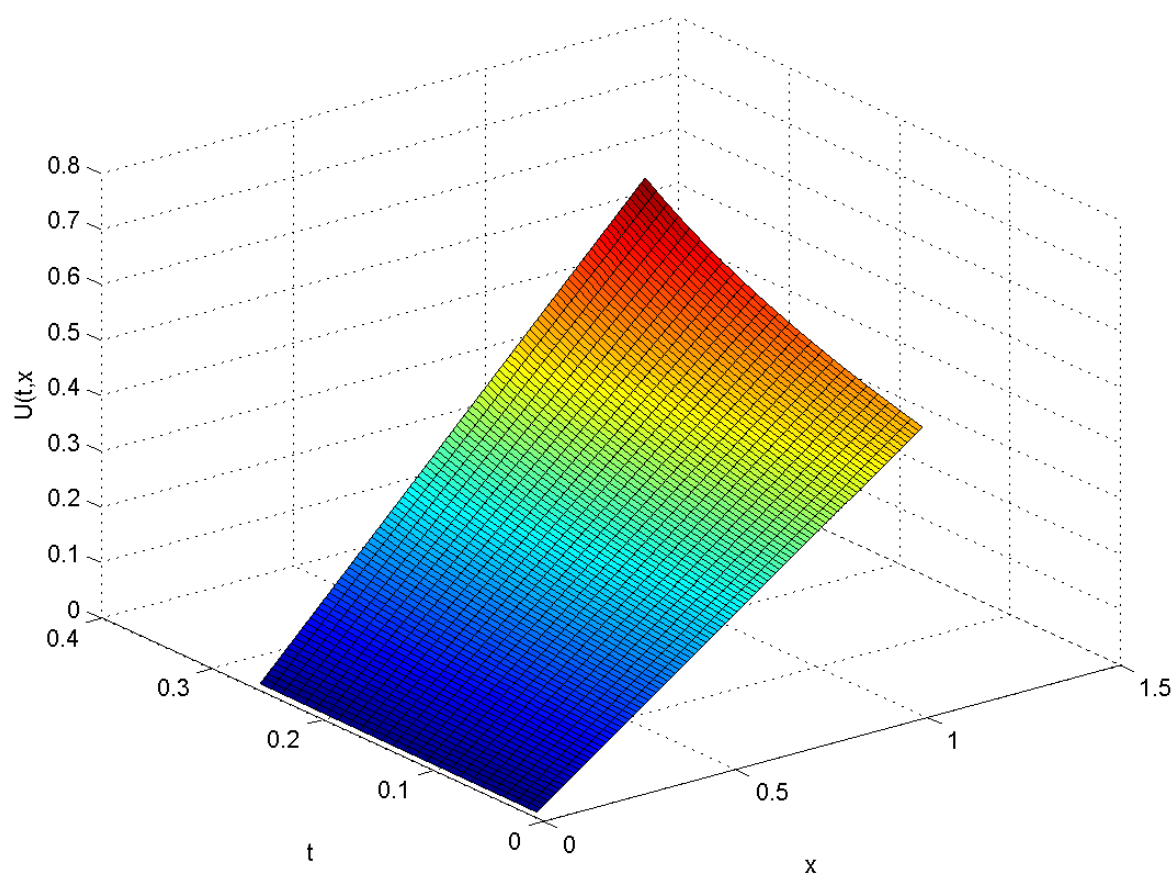


Рис. 1: Решение задачи при истинном значении коэффициента аномальной диффузии.

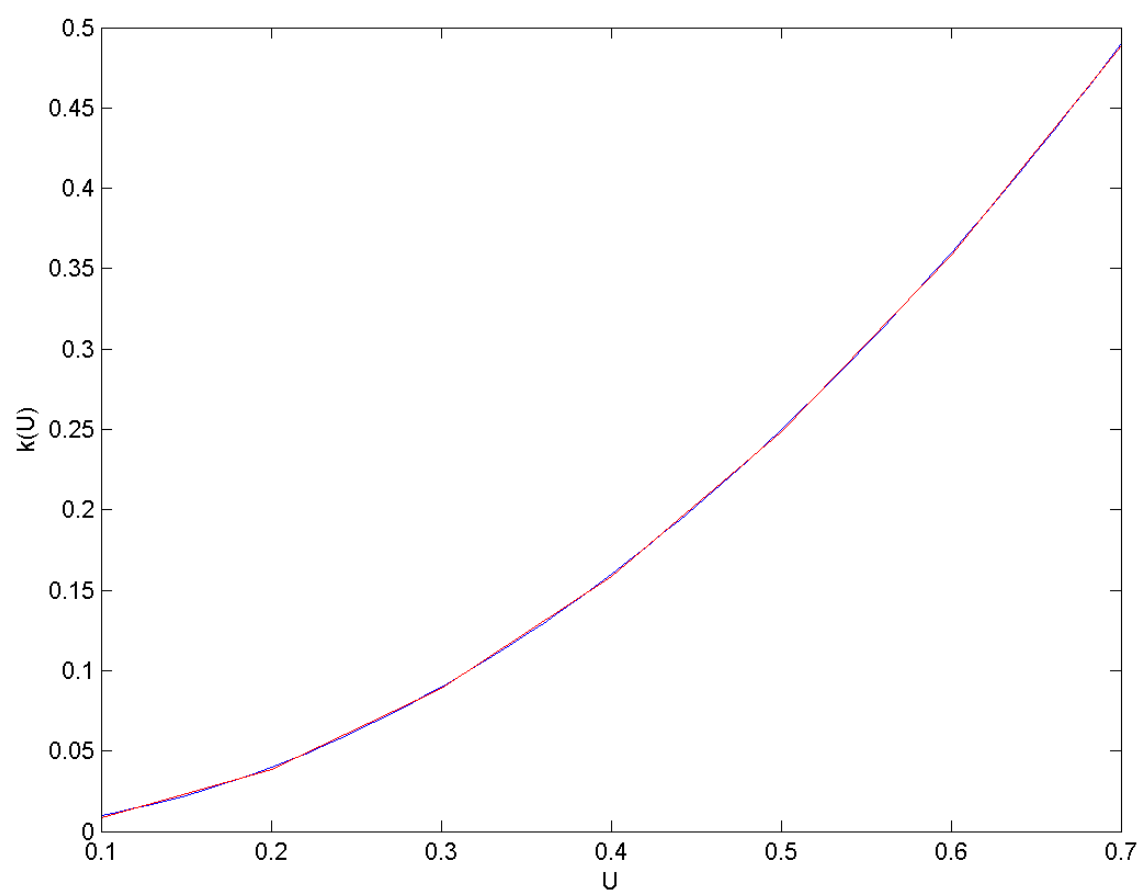


Рис. 2: Результат идентификации $k(U)$

Заключение

Метод решения коэффициентных обратных задач, основанный на сведении обратной задачи к функционально - интегральному уравнению адаптирован к задаче идентификации коэффициента уравнения аномальной диффузии с лево-и правосторонними дробными производными типа Римана-Лиувилля по пространственной переменной.

Построено функционально-интегральное уравнение относительно коэффициента аномальной диффузии для исследуемого уравнения. Предложен численный алгоритм решения задачи, который реализован программно для некоторых частных случаев функции поля концентрации. С использованием программы были проведены вычислительные эксперименты, подтвердившие работоспособность предложенного алгоритма.

Список литературы

1. Шаталов Ю.С. Функционально-интегральные уравнения теплофизических характеристик. –М.: Наука. Физматлит, 1996.–304 с. –ISBN 5-02-015156-4.
2. Самко С. Г., Килбас А. А., Маричев О. И. Интегралы и производные дробного порядка и некоторые их приложения. - Минск: Наука и техника, 1987-688с.
3. Тихонов А. Н., Арсенин В. Я. Методы решения некорректных задач. — М.: Наука, 1979. — 283 с.
4. Ralf Metzler and Joseph Klafter The random walk's guide to anomalous diffusion: a fractional dynamics approach // Phys. Rep. 2000. Vol. 339 P. 1-77
5. Rainer Klages, Gunter Radons, Igor M. Sokolov Anomalous Transport: Foundations and Applications // Willey-VCH. Berlin. 2008.
6. Ralph Metzler, Eli Barkai, Joseph Klafter Anomalous Diffusion and Relaxation Close to Thermal Equilibrium: A Fractional Fokker-Plank Equation Approach // Phys. Rev. Lett. 1999. Vol. 82 Num. 18 P. 3563-3567
7. D. A. Benson, S. W. Wheatcraft, M. M. Meerschaert Application of a fractional advection-dispersion equation // Water Resour. Res. 2000. Vol. 36 Num. 6 P. 1403-1412
8. Elliott W. Montroll, George H. Weiss Random Walks on Lattices II // J. Math. Phys. 1965. Vol. 6 Num. 2 Mon. February P. 167-181

Приложение

Листинг программы

Файл, вычисляющий значение прямой задачи:

```
1 clear;
2 init
3
4 for n = 2:t_steps
5     % A * U = B, U = ?
6     A = zeros(x_steps, x_steps);
7     U = zeros(x_steps, 1);
8     B = zeros(x_steps, 1);
9
10    % fill k
11    k = zeros(x_steps, 1);
12    for i=1:x_steps
13        k(i) = k_coeff(exact_u(n-1,i));
14    end
15
16    % prepare right part
17    B(1) = 0;
18    B(x_steps) = 0;
19
20    for i = 2:x_steps-1
21        B(i) = dx * exact_u(n-1, i) / dt;
22        B(i) = B(i) - 2 * dx * x_steps_array(i)
23            * ( q_b(t_steps_array(n)) - q_b(t_steps_array(n-1)))
24            / (b * dt);
25        B(i) = B(i) - 2 * dx * (1 - x_steps_array(i) / b)
26            * ( q_a(t_steps_array(n)) -
```

```

27         q_a(t_steps_array(n - 1)) ) / dt;
28
29     temp = ( q_b(t_steps_array(n)) - q_a(t_steps_array(n)) )
30         * x_steps_array(i)^(1-alpha) / (b * gamma(2 - alpha));
31     temp = temp + q_a(t_steps_array(n)
32         * x_steps_array(i)^(-alpha)) / gamma(1 - alpha);
33     temp = temp - ( q_b(t_steps_array(n)) -
34         q_a(t_steps_array(n)) ) *
35         (b - x_steps_array(i))^(-alpha) *
36         ((b - x_steps_array(i+1)) / (1-alpha) - b)
37         / (b * gamma(1 - alpha));
38     temp = temp - q_a(t_steps_array(n)) *
39         (b - x_steps_array(i))^(-alpha) / gamma(1 - alpha);
40     B(i) = B(i) + temp * k(i);
41
42     temp = ( q_b(t_steps_array(n)) - q_a(t_steps_array(n)) )
43         * x_steps_array(i-1)^(1-alpha)
44         / (b * gamma(2 - alpha));
45     temp = temp + q_a(t_steps_array(n) *
46         x_steps_array(i-1)^(-alpha)) / gamma(1 - alpha);
47     temp = temp - ( q_b(t_steps_array(n)) -
48         q_a(t_steps_array(n)) ) *
49         (b - x_steps_array(i-1))^(-alpha) *
50         ((b - x_steps_array(i-1)) / (1-alpha) - b)
51         / (b * gamma(1 - alpha));
52     temp = temp - q_a(t_steps_array(n)) * (b
53         - x_steps_array(i-1))^(-alpha) / gamma(1 - alpha);
54     B(i) = B(i) - temp * k(i-1);
55 end
56
57 %prepare first and last rows of matrix
58 A(1,1) = 1;

```

```

59     A(x_steps , x_steps) = 1;
60     for i = 2:x_steps-1
61         A(1,i) = 0;
62         A(x_steps , i) = 0;
63     end
64
65     %filling the matrix
66     for i = 2:x_steps-1 % row
67         A(i,i) = A(i,i) + 2 * dx / dt;
68
69         for m = 0:i - 1%i
70             num = i - m;%i + 1 - m;
71             A(i,num) = A(i,num) - k(i) * grunvald_coeffs(m+1);
72         end
73         for m = 0:x_steps - i%x_steps - (i + 1)
74             num = i + m;%i + 1 + m;
75             %if i ~= x_steps - 1
76                 A(i,num) = A(i,num) + k(i) * grunvald_coeffs(m+1);
77             %end
78         end
79         for m = 0:i - 2
80             num = i - 1 - m;
81             if i ~= 2
82                 A(i,num) = A(i,num) + k(i-1) * grunvald_coeffs(m+1);
83             end
84         end
85         for m = 0:x_steps - (i - 1)
86             num = i - 1 + m;
87             A(i,num) = A(i,num) - k(i-1) * grunvald_coeffs(m+1);
88         end
89     end
90     U = A\B;

```

```

91     for i = 1:x_steps
92         exact_u(n,i) = U(i);
93     end
94 end
95
96 for i = 1:t_steps
97     for j = 1:x_steps
98         exact_u(i,j) = exact_u(i,j) + x_steps_array(j)
99         * q_b(t_steps_array(i)) / b +
100         (1 - x_steps_array(j) / b)
101         * q_a(t_steps_array(i));
102     end
103 end
104
105 %figure
106 %surf(exact_u);

```

Правая часть для интегрального уравнения:

```

1 % right part function , n from 2 to t_steps
2 function f_res = f_right_part(n)
3     global x_steps;
4     global exact_u;
5     global dx;
6     global dt;
7     global t_steps_array;
8
9     f_res = 0;
10    for i = 1:x_steps
11        f_res = f_res + rho(i) * (exact_u(n, i) -
12        exact_u(n - 1, i));
13    end

```

```

14
15     f_res = f_res * dx / dt;
16
17     f_res = f_res - rho(x_steps) * q_b(t_steps_array(n));
18     f_res = f_res + rho(1) * q_a(t_steps_array(n));
19 end

```

Симметризованная правая часть для интегрального уравнения:

```

1 % symmetrized right part function, i from 2 to x_steps
2 function f_right_part_symm_res = f_right_part_symm(i)
3     global dx;
4     global t_steps;
5
6     f_right_part_symm_res = 0.;
7     for j = 2:t_steps
8         f_right_part_symm_res = f_right_part_symm_res
9             + f_right_part(j) * J_k(j, i);
10    end
11    f_right_part_symm_res = f_right_part_symm_res * dx * (-1);
12 end

```

Расчет коэффициентов в разложении Грювальда-Летникова:

```

1 function coeff = gr_coeff(n, alpha, dx)
2     coeff = ones(1, n);
3     coeff(1) = 1;
4     for i = 2:n
5         coeff(i) = coeff(i-1) * (alpha - (i - 1) + 1) / (i - 1);
6     end
7     for i = 1:n

```



```

8         coeff(i) = coeff(i) * (-1)^(i-1) / dx^alpha;
9     end
10 end

```

Инициализация глобальных переменных и сетки:

```

1 clear;
2 %fractional order
3 global alpha; alpha = 0.99;
4
5 %space
6 global a; a = 0;
7 global b; b = 1;
8 global dx; dx = 0.01;
9 global x_steps; x_steps = (b - a) / dx + 1;
10
11 global x_steps_array;
12 x_steps_array = ones(1, x_steps);
13 for i = 1:x_steps
14     x_steps_array(i) = dx * (i - 1);
15 end
16
17 %time
18 global t0; t0 = 0;
19 global t1; t1 = 0.25;
20 global dt; dt = 0.01;
21 global t_steps; t_steps = (t1 - t0) / dt + 1;
22
23 global t_steps_array;
24 t_steps_array = (t1 - t0) / dt + 1;
25 for i = 1:t_steps
26     t_steps_array(i) = dt * (i - 1);

```

```

27 end
28
29 % starting and border conditions
30 global exact_u;
31 exact_u = zeros(t_steps, x_steps);
32 for i = 1:x_steps
33     exact_u(1, i) = start_subs(x_steps_array(i));
34 end
35 for i = 1:t_steps
36     exact_u(i, 1) = q_a_subs(t_steps_array(i));
37     exact_u(i, x_steps) = q_b_subs(t_steps_array(i));
38 end
39
40 % filling grunvald-letnikov coefficients
41 global grunvald_coeffs;
42 grunvald_coeffs = gr_coeff(x_steps, alpha, dx);

```

Ядро функционально-интегрального уравнения:

```

1 % core function, i from 2 to x_steps, n from 2 to t_steps
2 function J_k_res = J_k(n, i)
3     global exact_u;
4     global grunvald_coeffs;
5     global x_steps;
6
7     J_k_res = (rho(i) - rho(i-1)) / (exact_u(n, i) -
8         exact_u(n, i-1));
9
10    temp_0_i = 0;
11    if i ~= 1
12        for m = 0:i - 1
13            num = i - m;

```

```

14         temp_0_i = temp_0_i + grunvald_coeffs(m+1)
15         * exact_u(n, num);
16     end
17 end
18
19 temp_i_N = 0;
20 if i ~= x_steps
21     for m = 0:x_steps - i
22         num = i + m;
23         temp_i_N = temp_i_N + grunvald_coeffs(m+1) *
24             exact_u(n, num);
25     end
26 end
27 J_k_res = J_k_res * (temp_0_i - temp_i_N);
28 end

```

Симметризованное ядро функционально-интегрального уравнения:

```

1 function J_k_symm_res = J_k_symm(i1 , i2)
2     J_k_symm_res = 0.;
3     global t_steps;
4     global dt;
5     for k = 2:t_steps
6         J_k_symm_res = J_k_symm_res + J_k(k, i1)
7         * J_k(k, i2);
8     end
9     J_k_symm_res = J_k_symm_res * dt;
10 end

```

Функция расчета коэффициента диффузии:

```

1 function k_res = k(u)
2     k_res = u * u;
3 end

```

Граничное условие слева:

```

1 function q_a = q_a(t)
2     q_a = 0;
3 end

```

Граничное условие слева для задачи с заменой:

```

1 function q_a_subs = q_a_subs(t)
2     q_a_subs = 0;
3 end

```

Граничное условие справа:

```

1 function q_b = q_b(t)
2     q_b = 1. / (2 * sqrt(1 - 2 * t));
3 end

```

Граничное условие справа для задачи с заменой:

```

1 function q_b_subs = q_b_subs(t)
2     q_b_subs = 0;
3 end

```

Весовая функция:

```

1 function rho_res = rho(i)
2     global a;
3     global b;
4     global x_steps_array;
5     rho_res = (x_steps_array(i) - 0)
6     * (1 - x_steps_array(i));
7 end

```

Решение задачи для $\alpha = 1$:

```

1 init
2
3 U_99 = zeros(t_steps, x_steps);
4
5 for i= 1:t_steps
6     for j=1:x_steps
7         U_99(i, j) = (j - 1) * dx
8         / (2 * sqrt(1 - 2 * (i - 1) * dt));
9     end
10 end
11
12 figure
13 surf(U_99);

```

Решение задачи регуляризации:

```

1 count_exact
2 sample
3
4 newton_alpha = 1;
5

```

```

6 min_U = min(min(U_99));
7 max_U = max(max(U_99));
8 dU = 0.001;
9 U_steps = (max_U - min_U) / dU + 1;
10
11
12 A_REG = zeros(x_steps, x_steps);
13 K_REG = zeros(x_steps, 1);
14 B_REG = zeros(x_steps, 1);
15
16 for i = 1:x_steps
17     B_REG(i) = f_right_part_symm(i);
18 end
19
20 for i = 2:x_steps
21     for j = 2:x_steps
22         A_REG(i-1,j-1) = A_REG(i-1,j-1)
23         + J_k_symm(i,j) * (exact_u(t_steps - 2,j)
24         - exact_u(t_steps - 2,j-1));
25     end
26     A_REG(i-1,i-1) = A_REG(i-1,i-1) + newton_alpha;
27 end
28
29 K_REG = A_REG \ B_REG;
30
31 figure
32 k_space=[min_exact:0.01:max_exact];
33 y = zeros(length(k_space));
34 for i = 1:length(k_space)
35     y(i) = k_space(i) * k_space(i);
36 end
37 plot(k_space, y)

```

Начальное условие:

```
1 function f = start(x)
2     f = x / 2.;
3 end
```

Начальное условие для задачи с заменой:

```
1 function f_subs = start_subs(x)
2     global b;
3     f_subs = start(x) - x / b
4     * start(b) - (1 - x / b) * start(0);
5 end
```